

ГОРИЗОНТАЛЬНЫЙ УДАР ЭЛЛИПСОИДА ВРАЩЕНИЯ ОБ ИДЕАЛЬНУЮ ЖИДКОСТЬ ПРИ НАЛИЧИИ СВОБОДНОЙ ПОВЕРХНОСТИ

Э. Л. Блох

(Москва)

Настоящая статья является непосредственным развитием и продолжением работы [1], в которой был рассмотрен горизонтальный гидродинамический удар сферы, представляющий собой простейший случай пространственной задачи о горизонтальном ударе твердого тела об идеальную жидкость при наличии свободной поверхности.

При изучении гидродинамического удара эллипсоида вращения следует различать случаи удлиненного и сплюснутого эллипсоида, для каждого из которых можно рассматривать внешнюю и внутреннюю задачи.

Поскольку исследование всех этих случаев ведется общим и достаточно единобразным методом, в работе приводится подробное изложение решения только внешней задачи для удлиненного эллипса вращения, а для всех остальных случаев дается окончательный результат с минимально необходимыми пояснениями.

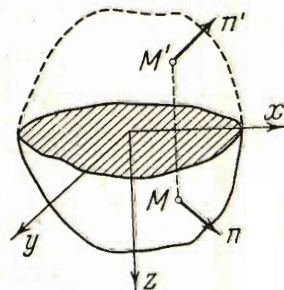
Не останавливаясь на повторном изложении постановки задачи и выводе граничных условий, напомним, что возмущенное движение идеальной жидкости, порождаемое ударом плывающего на ее поверхности твердого тела (внешняя задача) или сосуда, частично заполненного жидкостью (внутренняя задача), является потенциальным.

Потенциал скоростей φ возмущенного движения жидкости связан с импульсивным давлением p_t соотношением

$$p_t = -\rho \varphi \quad (\rho \text{ — плотность жидкости})$$

В области, занятой жидкостью, φ удовлетворяет уравнению Лапласа и обращается в нуль на свободной поверхности, так как на ней $p_t = 0$.

На смоченной поверхности тела



Фиг. 1

$$\frac{\partial \varphi}{\partial n} = V_n(M)$$

где n — нормаль к поверхности тела, направленная внутрь жидкости, $V_n(M)$ — проекция на нормаль скорости точек M , принадлежащих смоченной поверхности тела.

Равенство нулю φ на свободной поверхности позволяет аналитически продолжить потенциал скоростей сквозь свободную поверхность в область, представляющую собой зеркальное изображение относительно свободной поверхности области, занятой жидкостью (фиг. 1), так, что

$$\varphi(x, y, z) = -\varphi(x, y, -z) \quad (0.1)$$

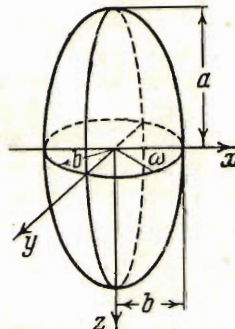
Очевидно, что в точках M и M' , симметричных относительно свободной поверхности и принадлежащих соответственно смоченной поверхности тела и его зеркального изображения, в силу соотношения (0.1) имеет место равенство

$$\left(\frac{\partial \varphi}{\partial n}\right)_M = -\left(\frac{\partial \varphi}{\partial n}\right)_{M'}$$

Таким образом, граничное условие для всей области D , образованной областью, занятой жидкостью и ее зеркальным изображением относительно свободной поверхности, можно записать в виде

$$\frac{\partial \varphi}{\partial n} = V_n(M) \operatorname{sign} z \quad \begin{cases} (\operatorname{sign} z = +1 \text{ при } z > 0) \\ (\operatorname{sign} z = -1 \text{ при } z < 0) \end{cases} \quad (0.2)$$

§ 1. Эллипсоид, экваториальная плоскость которого совпадает со свободной поверхностью жидкости.



Фиг. 2

Рассмотрим на половину погруженный в идеальную жидкость удлиненный эллипсоид вращения, экваториальная плоскость которого совпадает со свободной поверхностью жидкости (фиг. 2).

В эллиптических координатах μ , ζ и ω , определяемых соотношениями

$$\begin{aligned} x &= \kappa \sqrt{1 - \mu^2} \sqrt{\zeta^2 - 1} \cos \omega \\ y &= \kappa \sqrt{1 - \mu^2} \sqrt{\zeta^2 - 1} \sin \omega \\ z &= \kappa \mu \zeta \end{aligned} \quad \begin{cases} -1 \leq \mu \leq 1 \\ 0 \leq \omega \leq 2\pi \\ \zeta > 1 \\ \kappa = \text{const} \end{cases} \quad (1.1)$$

уравнение Лапласа для потенциала скоростей φ имеет вид

$$\frac{\partial}{\partial \mu} \left[(1 - \mu^2) \frac{\partial \varphi}{\partial \mu} \right] + \frac{1}{1 - \mu^2} \frac{\partial^2 \varphi}{\partial \omega^2} = \frac{\partial}{\partial \zeta} \left[(1 - \zeta^2)^2 \frac{\partial \varphi}{\partial \zeta} \right] + \frac{1}{1 - \zeta^2} \frac{\partial^2 \varphi}{\partial \omega^2} \quad (1.2)$$

Как известно [2], решение этого уравнения, конечно в бесконечно удаленных точках ($\zeta \rightarrow \infty$), выражается через функции Лежандра первого $P_n^m(\mu)$ и второго $Q_n^m(\zeta)$ рода рядом

$$\varphi = \sum_{n=0}^{\infty} \sum_{m=0}^n [A_n^m \cos m\omega + B_n^m \sin m\omega] Q_n^m(\zeta) P_n^m(\mu) \quad (1.3)$$

Здесь

$$P_n^m(\mu) = (1 - \mu^2)^{1/2m} \frac{d^m P_n}{d\mu^m}, \quad P_n^m = P_n — \text{полиномы Лежандра}$$

$$Q_n^m(\zeta) = (\zeta^2 - 1)^{1/2m} \frac{d^m Q_n}{d\zeta^m}, \quad Q_n^m = Q_n — \text{функции Лежандра второго рода}$$

Уравнение эллипсоида вращения в эллиптических координатах μ , ζ , ω имеет вид:

$$\zeta = \zeta_0 = \text{const}$$

Если обозначить полуось эллипсоида, совпадающую с осью z , через a , а другую полуось, лежащую в экваториальной плоскости, через b

(фиг. 2), то из уравнений (1.1) имеем

$$a = \kappa \zeta_0, \quad b = \kappa \sqrt{\zeta_0^2 - 1}$$

Отсюда

$$\kappa = \sqrt{a^2 - b^2}, \quad \zeta_0 = \frac{a}{\sqrt{a^2 - b^2}}.$$

Так как на поверхности эллипсоида вращения $\zeta = \zeta_0$ производная $\partial \varphi / \partial n$ равна

$$\frac{\partial \varphi}{\partial n} = \frac{1}{\kappa} \sqrt{\frac{\zeta_0^2 - 1}{\zeta_0^2 - \mu^2}} \left(\frac{\partial \varphi}{\partial \zeta} \right)_{\zeta=\zeta_0}$$

то согласно (1.3)

$$\frac{\partial \varphi}{\partial n} = \frac{1}{\kappa} \sqrt{\frac{\zeta_0^2 - 1}{\zeta_0^2 - \mu^2}} \sum_{n=0}^{\infty} \sum_{m=0}^n [A_n m \cos m\omega + B_n m \sin m\omega] \dot{Q}_n^m(\zeta_0) P_n^m(\mu)$$

где

$$\dot{Q}_n^m(\zeta) = \frac{d Q_n^m}{d \zeta}$$

Будем рассматривать только горизонтальный удар, определяемый, как известно [3], внезапным поступательным движением твердого тела вдоль осей x и y и его вращением вокруг оси z . Очевидно, что для эллипсоида вращения, экваториальная плоскость которого нормальна оси z , достаточно ограничиться случаем внезапного поступательного движения вдоль оси x , ибо в силу симметрии движение вдоль оси y ничем не отличается от движения вдоль оси x , а вращение вокруг оси z не вызывает возмущенного движения жидкости.

Если скорость движения эллипсоида вдоль оси x равна U_0 , то проекция на нормаль скоростей точек, лежащих на его смоченной поверхности, будет

$$V_n(M) = U_0 \cos \alpha$$

где α — угол между нормалью n и осью z .

Так как для рассматриваемого эллипсоида

$$\cos \alpha = \sqrt{\frac{1 - \mu^2}{\zeta_0^2 - \mu^2}} \zeta_0 \cos \omega$$

то на смоченной поверхности

$$V_n(M) = U_0 \sqrt{\frac{1 - \mu^2}{\zeta_0^2 - \mu^2}} \zeta_0 \cos \omega \quad (\mu > 0)$$

и, значит, граничное условие (0.2) для всей области D ($-1 \leq \mu \leq 1$) будет иметь вид:

$$\begin{aligned} & \sum_{n=0}^{\infty} \sum_{m=0}^n [A_n m \cos m\omega + B_n m \sin m\omega] \dot{Q}_n^m(\zeta_0) P_n^m(\mu) = \\ & = \kappa U_0 \sqrt{\frac{1 - \mu^2}{\zeta_0^2 - 1}} \zeta_0 \cos \omega \operatorname{sign} \mu \quad \begin{cases} \operatorname{sign} \mu = +1 & \text{при } 0 < \mu \leq 1 \\ \operatorname{sign} \mu = -1 & \text{при } -1 \leq \mu < 0 \end{cases} \quad (1.4) \end{aligned}$$

Равенство (1.4) служит для определения неизвестных коэффициентов $A_n m$ и $B_n m$. Очевидно, условию (1.4) можно удовлетворить, положив все коэффициенты $B_n m = 0$ и $A_n m = 0$ для $m \neq 1$.

Тогда для определения коэффициентов A_n^1 получаем более простое условие:

$$\sum_{n=1}^{\infty} A_n^1 P_n^1(\mu) \dot{Q}_n^1(\zeta_0) = x U_0 \sqrt{\frac{1-\mu^2}{\zeta_0^2-1}} \zeta_0 \operatorname{sign} \mu \quad (1.5)$$

Так как функции $P_n^m(\mu)$ ортогональны в интервале $0 \leq \mu \leq 1$ и, следовательно,

$$\int_{-1}^{+1} P_n^m(\mu) P_v^m(\mu) d\mu = 0 \quad \text{при } n \neq v$$

и, кроме того,

$$\int_{-1}^{+1} [P_n^m(\mu)]^2 d\mu = \frac{2}{2n+1} \frac{(n+m)!}{(n-m)!}$$

то из условия (1.5) получаем для определения A_n^1 равенства

$$A_n^1 \dot{Q}_n^1(\zeta_0) \int_{-1}^{+1} [P_n^1(\mu)]^2 d\mu = x U_0 \sqrt{\frac{\zeta_0}{\zeta_0^2-1}} \int_{-1}^{+1} \sqrt{1-\mu^2} P_n^1(\mu) \operatorname{sign} \mu d\mu$$

Так как $P_n^1(\mu)$ является нечетной функцией при $n = 2v$ и четной при $n = 2v+1$, то

$$\begin{aligned} \int_{-1}^{+1} \sqrt{1-\mu^2} P_{2v}^1(\mu) \operatorname{sign} \mu d\mu &= 2 \int_0^1 \sqrt{1-\mu^2} P_{2v}^1(\mu) d\mu \\ \int_{-1}^{+1} \sqrt{1-\mu^2} P_{2v+1}^1(\mu) \operatorname{sign} \mu d\mu &= 0 \end{aligned}$$

Таким образом, находим, что

$$A_{2v+1}^1 = 0, \quad A_{2v}^1 = x U_0 (4v+1) \frac{(2v-1)!}{(2v+1)!} J_{2v} \sqrt{\frac{\zeta_0}{\zeta_0^2-1}} \dot{Q}_{2v}^1(\zeta_0)$$

где

$$J_{2v} = \int_0^1 \sqrt{1-\mu^2} P_{2v}^1(\mu) d\mu$$

Для интеграла J_{2v} в работе [1] дано выражение

$$J_{2v} = (-1)^{v+1} \frac{2v}{2v-1} \frac{(2v+1)!!}{(2v+2)!!}$$

в котором

$$(2v+1)!! = 1 \cdot 3 \cdot 5 \cdots (2v+1); \quad (2v)!! = 2 \cdot 4 \cdot 6 \cdots (2v),$$

Подставляя в уравнение (1.3) вместо коэффициентов A_n^m , B_n^m и величин x и ζ_0 их значения, получаем для потенциала φ выражение

$$\varphi(\zeta, \mu, \omega) = U_0 \frac{a}{b} \sqrt{a^2 - b^2} \cos \omega \sum_{v=1}^{\infty} (4v+1) \frac{(2v-1)!}{(2v+1)!} J_{2v} \frac{\dot{Q}_{2v}^1(\varphi)}{\dot{Q}_{2v}^1(\zeta_0)} P_{2v}^1(\mu) \quad (1.6)$$

Заметим, что для доказательства сходимости найденного решения для всей области D достаточно доказать сходимость ряда (1.6) на поверхности эллипсоида $\zeta = \zeta_0$.

Потенциал φ при $\zeta = \zeta_0$ представим в виде

$$\varphi(\zeta_0, \mu, \omega) = -U_0 b \cos \omega \sum_{v=1}^{\infty} (4v+1) \frac{(2v-1)!}{(2v+1)!} J_{2v} F_{2v}^{-1}(\zeta_0) P_{2v}^{-1}(\mu) \quad (1.7)$$

где

$$F_{2v}^{-1}(\zeta_0) = -\frac{a \sqrt{a^2 - b^2}}{b^2} \frac{Q_{2v}^{-1}(\zeta_0)}{Q_{2v}^{-1}(\zeta_0)} = -\frac{\zeta_0}{\zeta_0^2 - 1} \frac{Q_{2v}^{-1}(\zeta_0)}{Q_{2v}^{-1}(\zeta_0)}$$

Воспользовавшись равенством

$$Q_{2v}^{-1} = \sqrt{\zeta^2 - 1} \frac{dQ_{2v}}{d\zeta}$$

и известными [4] рекуррентными соотношениями для функции Лежандра второго рода, приведем коэффициент $F_{2v}^{-1}(\zeta_0)$ к виду

$$F_{2v}^{-1}(\zeta_0) = \frac{1 + (\zeta^2 - 1)^{-1} [1 - \zeta_0 (Q_{2v+1}(\zeta_0) / Q_{2v}(\zeta_0))]}{(2v+1) + (\zeta_0^2 - 1)^{-1} [1 - \zeta_0 (Q_{2v+1}(\zeta_0) / Q_{2v}(\zeta_0))]}$$

Так как при $\zeta > 1$

$$0 < \zeta \frac{Q_{2v+1}(\zeta)}{Q_{2v}(\zeta)} < 1$$

то

$$F_{2v}^{-1}(\zeta_0) < \frac{\zeta_0^2}{1 + (2v+1)(\zeta_0^2 - 1)}$$

Кроме того, в работе [1] показано, что

$$|J_{2v}| < \frac{2v}{2v+1} \frac{1}{\sqrt{\pi v}}, \quad |P_n^1| < n+1$$

Указанные неравенства позволяют утверждать, что ряд (1.7), а следовательно, и ряд (1.6) будут сходиться абсолютно и равномерно в интервале $-1 \leq \mu \leq 1$, если сходится ряд

$$S = U_0 b \sum_{v=1}^{\infty} \frac{4v+1}{2v+1} \frac{1}{\sqrt{\pi v}} \frac{\zeta_0}{1 + (2v+1)(\zeta_0^2 - 1)} = U_0 \sum_{v=1}^{\infty} \frac{4v+1}{2v+1} \frac{1}{\sqrt{\pi v}} \frac{ba^2}{a^2 + 2b^2 v}$$

все члены которого не зависят от μ , положительны и больше абсолютного значения соответствующих членов ряда (1.7).

Сходимость же ряда S при всех значениях $\zeta_0 > 1$ вытекает из сходимости несобственного интеграла

$$\int_1^{\infty} \frac{4v+1}{2v+1} \frac{ba^2}{a^2 + 2b^2 v} \frac{dv}{\sqrt{\pi v}} = \frac{a^2}{a^2 + b^2} (1.490b + 0.646a)$$

Вычислим величину P_t — главного вектора импульсивных сил давлений, действующих на смоченную часть σ поверхности эллипса. В силу симметрии главный вектор импульсивных сил лежит в плоскости xy , параллелен оси x и направлен в сторону, обратную движению эллипса.

Так как импульсивное давление $p_t = -\rho \varphi$ и

$$P_t = - \iint_{\sigma} p_t \cos \alpha d\sigma \quad (d\sigma = x^2 \sqrt{\zeta_0^2 - 1} \sqrt{\zeta_0^2 - \mu^2} d\mu d\omega)$$

где $d\sigma$ — элемент поверхности эллипсоида вращения, то

$$P_t = -\rho U_0 ab^2 \sum_{v=1}^{\infty} (4v+1) \frac{(2v-1)!}{(2v+1)!} J_{2v} F_{2v}^1(\zeta_0) \int_0^{1/2\pi} \int_0^1 \sqrt{1-\mu^2} P_{2v}^1(\mu) \cos^2 \omega d\mu d\omega$$

Выполнив интегрирование, окончательно имеем

$$P_t = -\pi \rho U_0 ab^2 \sum_{v=1}^{\infty} (4v+1) \frac{(2v-1)!}{(2v+1)!} (J_{2v})^2 F_{2v}^1(\zeta_0)$$

Поделив P_t на $-\rho U_0 V$, где V = объем смоченной части эллипсоида

$$V = \frac{2}{3} \pi a b^2$$

и заменив интеграл J_{2v} его значением, получим коэффициент присоединенной массы:

$$\lambda = \lambda_x = \lambda_y = 3 \sum_{v=1}^{\infty} \frac{v(2v+1)(4v+1)}{(4v^2-1)^2} \cdot \left[\frac{(2v+1)!!}{(2v+2)!!} \right]^2 F_{2v}^1(\zeta_0) \quad (1.8)$$

Вычислим также главный момент импульсивных сил давлений, действующих на смоченную часть эллипсоида при его внезапном поступательном движении вдоль оси x . В этом случае в силу симметрии момент импульсивных сил относительно осей x и z будет равен нулю, а момент относительно оси y определится выражением

$$M_t = - \iint_{\sigma} p_t (z \cos \alpha - x \cos \gamma) d\sigma$$

где γ — угол между нормалью n и осью z .

Для рассматриваемого эллипсоида

$$\cos \gamma = \sqrt{\frac{\zeta_0^2 - 1}{\zeta_0^2 - \mu^2}} \mu$$

тогда, заменяя x и z через эллиптические координаты и выполняя интегрирование, получим

$$M_t = -\rho U_0 (a^2 - b^2) b^2 \pi \sum_{v=1}^{\infty} (4v+1) \frac{(2v-1)!}{(2v+1)!} J_{2v} F_{2v}^1(\zeta_0) \int_0^1 \mu \sqrt{1-\mu^2} P_{2v}^1(\mu) d\mu$$

Так как

$$\begin{aligned} \int_0^1 \mu \sqrt{1-\mu^2} P_{2v}^1(\mu) d\mu &= \frac{1}{2} \int_{-1}^{+1} \mu \sqrt{1-\mu^2} P_{2v}^1(\mu) d\mu \\ \mu \sqrt{1-\mu^2} &= \frac{1}{3} P_2^1(\mu) \end{aligned}$$

то в силу ортогональности присоединенных функций Лежандра первого рода в интервале $-1 \leq \mu \leq 1$ последний интеграл обращается в нуль для всех значений $v \neq 1$, а при $v = 1$ он принимает значение 0.400.

Учитывая, что $J_2 = 0.750$, окончательно находим

$$M_t = -\frac{\pi}{4} \rho U_0 (a^2 - b^2) b^2 F_2^1(\zeta_0)$$

Таким образом, линия действия равнодействующей импульсивных сил давлений, приложенных к смоченной части эллипсоида, пересекает ось z в точке

$$z_0 = \frac{M_t}{P_t} = \frac{3a}{8\lambda} \left(1 - \frac{b^2}{a^2}\right) F_{2v}^{-1}(\zeta_0) \quad (1.9)$$

Рассмотрим предельные случаи, когда $\zeta_0 \rightarrow \infty$ ($a/b \rightarrow 1$) и эллипсоид вырождается в сферу, и когда $\zeta_0 \rightarrow 1$ или $a/b \rightarrow \infty$ и эллипсоид приближается к бесконечно длинному круглому цилиндру.

При больших значениях ζ функция

$$Q_n(\zeta) \rightarrow \frac{n!}{(2n+1)!!} \frac{1}{\zeta^{n+1}}$$

и, следовательно,

$$F_{2v}^{-1} = \frac{1}{2v+1} \quad \text{при } \zeta_0 \rightarrow \infty$$

В этом случае

$$\lambda = 3 \sum_{v=1}^{\infty} \frac{v(4v+1)}{(4v-1)^2} \left[\frac{(2v+1)!!}{(2v+2)!!} \right]^2$$

Последнее выражение для коэффициента присоединенной массы сферы получено в работе [1], где показано, что в данном случае $\lambda = 0.273224$.

Во втором предельном случае $\zeta \rightarrow 1$

$$Q_n(\zeta) \rightarrow \frac{1}{2} \ln \frac{2}{\zeta-1}$$

и, следовательно, $F_{2v}^{-1} = 1$ при $\zeta_0 \rightarrow 1$. В этом случае

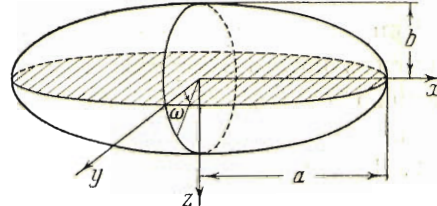
$$\lambda = 3 \sum_{v=1}^{\infty} \frac{v(2v+1)(4v+1)}{(4v-1)^2} \left[\frac{(2v+1)!!}{(2v+2)!!} \right]^2$$

Приближенно суммируя последний ряд, находим, что при $a \gg b$ коэффициент присоединенной массы с точностью по крайней мере до пятого знака равен $\lambda = 1.00000$.

§ 2. Эллипсоид, экваториальная плоскость которого нормальна свободной поверхности жидкости. Рассмотрим теперь наполовину погруженный в жидкость удлиненный эллипсоид вращения, экваториальная плоскость которого нормальна свободной поверхности жидкости (фиг. 3).

В этом случае введем эллиптические координаты μ , ζ и ω соотношениями

$$\begin{aligned} x &= \kappa \mu \zeta \\ y &= \kappa \sqrt{1-\mu^2} \sqrt{\zeta^2-1} \cos \omega \\ z &= \kappa \sqrt{1-\mu^2} \sqrt{\zeta^2-1} \sin \omega \end{aligned} \quad (2.1)$$



Фиг. 3

Уравнение эллипсоида и его полуоси a и b попрежнему будет определяться равенствами

$$\zeta = \zeta_0 = \text{const}, a = \kappa z_0, b = \kappa \sqrt{\zeta_0^2 - 1}$$

а уравнение Лапласа для потенциала скоростей и его решение — равенствами (1.2) и (1.3).

Точки M , лежащие на смоченной поверхности эллипсоида, определяются координатами

$$\zeta = \zeta_0, \quad -1 \leq \mu \leq 1, \quad 0 \leq \omega \leq \pi$$

а их зеркальное изображение M' — координатами

$$\zeta = \zeta_0, \quad -1 \leq \mu \leq 1, \quad 2\pi \geq \omega \geq \pi$$

так что если $M = M(\zeta_0, \mu, \omega)$, то $M' = M(\zeta_0, \mu, 2\pi - \omega)$ и, значит, граничное условие (0.2) можно записать в виде

$$\frac{\partial \varphi}{\partial n} = V_n(M) \operatorname{sign} \omega \quad \begin{cases} \operatorname{sign} \omega = +1 & \text{при } 0 < \omega < \pi \\ \operatorname{sign} \omega = -1 & \text{при } \pi < \omega < 2\pi \end{cases}$$

Представляя $\operatorname{sign} \omega$ в виде ряда

$$\operatorname{sign} \omega = \frac{4}{\pi} \sum_{k=0}^{\infty} \frac{\sin(2k+1)\omega}{2k+1}$$

и учитывая, что в данном случае

$$\frac{\partial \varphi}{\partial n} = \frac{1}{\kappa} \sqrt{\frac{\zeta_0^2 - 1}{\zeta_0^2 - \mu^2}} \left(\frac{\partial \varphi}{\partial \zeta} \right)_{\zeta=\zeta_0}$$

получаем для определения коэффициентов A_n^m и B_n^m ряда (1.3), представляющего собой решение уравнения Лапласа для потенциала скоростей φ , условие

$$\begin{aligned} \sum_{n=0}^{\infty} \sum_{m=0}^n [A_n^m \cos m\omega + B_n^m \sin m\omega] \dot{Q}_n^m(\zeta_0) P_n^m(\mu) = \\ = \frac{4\kappa}{\pi} \sqrt{\frac{\zeta_0^2 - \mu^2}{\zeta_0^2 - 1}} V_n(M) \sum_{k=0}^{\infty} \frac{\sin(2k+1)\omega}{2k+1} \end{aligned} \quad (2.2)$$

При изучении горизонтального удара эллипсоида, экваториальная плоскость которого нормальна свободной поверхности жидкости, следует отдельно рассмотреть случаи его внезапного поступательного движения вдоль осей x и y , а также вращения вокруг оси z .

1. При поступательном движении эллипсоида вдоль оси x со скоростью U_x

$$V_n(M) = U_x \cos \alpha$$

где α — угол между нормалью n и осью x . Так как в данном случае

$$\cos \alpha = \mu \sqrt{\frac{\zeta_0^2 - 1}{\zeta_0^2 - \mu^2}}$$

то условие (2.2) принимает вид

$$\begin{aligned} \sum_{n=0}^{\infty} \sum_{m=0}^n [A_n^m \cos m\omega + B_n^m \sin m\omega] \dot{Q}_n^m(\zeta_0) P_n^m(\mu) = \\ = \frac{4\kappa}{\pi} U_x \mu \sum_{k=0}^{\infty} \frac{\sin(2k+1)\omega}{2k+1} \end{aligned} \quad (2.3)$$

Этому условию можно удовлетворить, положив

$$A_n^m = 0 \quad \text{при всех } n, \quad B_n^m = 0 \quad \text{при } m = 2k$$

Тогда для определения коэффициентов B_n^{2k+1} получим соотношения

$$\sum_{n=2k+1}^{\infty} B_n^{2k+1} \dot{Q}_n^{2k+1}(\zeta_0) P_n^{2k+1}(\mu) = \frac{4\kappa}{\pi} U_x \frac{\mu}{2k+1} \quad (k = 0, 1, \dots)$$

Используя ортогональность присоединенных функций Лежандра первого рода в интервале $-1 \leq \mu \leq 1$, получаем

$$B_n^{2k+1} \dot{Q}_n^{2k+1}(\zeta_0) \int_{-1}^{+1} [P_n^{2k+1}(\mu)] d\mu = \frac{4\kappa}{\pi} \frac{U_x}{2k+1} \int_{-1}^{+1} \mu P_n^{2k+1}(\mu) d\mu$$

Отсюда

$$B_n^{2k+1} = \frac{4\kappa}{\pi} U_x \frac{2n+1}{2k+1} \frac{(n-2k-1)!}{(n+2k+1)!} \frac{J_n^{2k+1}}{\dot{Q}_n^{2k+1}(\zeta_0)}$$

где

$$J_n^{2k+1} = \frac{1}{2} \int_{-1}^{+1} \mu P_n^{2k+1}(\mu) d\mu$$

Так как P_n^{2k+1} является четной функцией при $n = 2v + 1$ и нечетной при $n = 2v$, следует, что

$$J_{2v+1}^{2k+1} = 0, \quad J_{2v}^{2k+1} = \int_0^1 \mu P_{2v}^{2k+1}(\mu) d\mu$$

и, значит,

$$B_{2v+1}^{2k+1} = 0, \quad B_{2v}^{2k+1} = \frac{4\kappa U_x}{\pi} \frac{4v+1}{2k+1} \frac{(2v-2k-1)!}{(2v+2k+1)!} \frac{J_{2v}^{2k+1}}{\dot{Q}_{2v}^{2k+1}(\zeta_0)}$$

Подставляя коэффициенты A_n^m и B_n^m в выражение (1.3), получаем потенциал скоростей $\varphi(\zeta, \mu, \omega)$ в виде

$$\begin{aligned} \varphi(\zeta, \mu, \omega) &= \frac{4\sqrt{a^2 - b^2}}{\pi} U_x \sum_{v=1}^{\infty} \sum_{k=0}^{v-1} \frac{4v+1}{2k+1} \frac{(2v-2k-1)!}{(2v+2k+1)!} \times \\ &\times J_{2v}^{2k+1} \frac{\dot{Q}_{2v}^{2k+1}(\zeta)}{\dot{Q}_{2v}^{2k+1}(\zeta_0)} P_{2v}^{2k+1}(\mu) \sin(2k+1)\omega \end{aligned} \quad (2.4)$$

Потенциал скоростей на поверхности эллипсоида $\zeta = \zeta_0$ запишем в виде

$$\begin{aligned} \varphi(\zeta_0, \mu, \omega) &= -\frac{4U_x}{\pi} \frac{b^2}{a} \sum_{v=1}^{\infty} \sum_{k=0}^{v-1} \frac{4v+1}{2k+1} \frac{(2v-2k-1)!}{(2v+2k+1)!} \times \\ &\times J_{2v}^{2k+1} F_{2v}^{2k+1}(\zeta_0) P_{2v}^{2k+1}(\mu) \sin(2k+1)\omega \end{aligned} \quad (2.5)$$

где

$$F_{2v}^{2k+1}(\zeta_0) = -\frac{\zeta_0}{\zeta_0^2 - 1} \frac{\dot{Q}_{2v}^{2k+1}(\zeta_0)}{\dot{Q}_{2v}^{2k+1}(\zeta_0)}$$

Интеграл J_{2v}^{2k+1} после соответствующих преобразований может быть приведен к известным^[5] интегралам, содержащим функции Лежандра $P_n^m(\mu)$, в результате чего находим, что

$$J_{2v}^{2k+1} = \frac{\pi}{2} \frac{v-k}{v+k} \frac{2k+1}{2v-1} \frac{(2v-1)!!}{(2v)!!} \frac{(2v+2k+1)!!}{(2v-2k)!!}$$

Подставляя J_{2v}^{2k+1} в выражение (2.5), приводим его к виду

$$\begin{aligned} \varphi(\zeta_0, \mu, \omega) &= -U_x \frac{b^2}{a} \sum_{v=1}^{\infty} \frac{4v+1}{(v+1)(2v-1)} \frac{(2v-1)!!}{(2v)!!} \times \\ &\times \sum_{k=0}^{v-1} \frac{(2v-2k-1)!!}{(2v+2k)!!} F_{2v}^{2k+1}(\zeta_0) P_{2v}^{2k+1}(\mu) \sin(2k+1)\omega \end{aligned} \quad (2.6)$$

Докажем теперь абсолютную и равномерную сходимость найденного решения (2.4) в интервале $-1 \leq \mu \leq 1$ при всех значениях ζ , для чего достаточно доказать абсолютную и равномерную сходимость φ на поверхности эллипсоида $\zeta = \zeta_0$.

Обозначая

$$\frac{4v+1}{(v+1)(2v-1)} \frac{(2v-1)!!}{(2v)!!} = \alpha_v$$

$$\sum_{k=0}^{v-1} \frac{(2v-2k-1)!!}{(2v+2k)!!} F_{2v}^{2k+1}(\zeta_0) P_{2v}^{2k+1}(\mu) \sin(2k+1)\omega = S_v$$

запишем (2.6) в виде

$$\varphi(\zeta_0, \mu, \omega) = -U_x \frac{b^2}{a} \sum_{v=1}^{\infty} \alpha_v S_v$$

Конечную сумму S_v в свою очередь несколько преобразуем, написав

$$\begin{aligned} S_v &= \sum_{k=0}^{v-1} \left[F_{2v}^{2k+1}(\zeta_0) \sin(2k+1)\omega \frac{(2v-2k-1)!!}{(2v+2k)!!} \sqrt{\frac{(2v+2k+1)!}{(2v-2k-1)!}} \right] \times \\ &\times \sqrt{\frac{(2v-2k-1)!}{(2v+2k+1)!}} P_{2v}^{2k+1}(\mu) = \\ &= \sum_{k=0}^{v-1} \left[F_{2v}^{2k+1}(\zeta_0) \sin(2k+1)\omega \sqrt{\frac{(2v-2k-1)!!(2v+2k+1)!!}{(2v-2k-2)!!(2v+2k)!!}} \right] \sqrt{\frac{(2v-2k-1)!}{(2v+2k+1)!}} P_{2v}^{2k+1}(\mu) \end{aligned}$$

и так как

$$\left| \sum_{k=k_0}^n a_k b_k \right| \leq \left[\sum_{k=k_0}^n a_k^2 \sum_{k=k_0}^n b_k^2 \right]^{1/2}$$

имеем

$$\begin{aligned} |S_v| &\leq \left\{ \sum_{k=0}^{v-1} [F_{2v}^{2k+1}(\zeta_0)]^2 \sin^2(2k+1)\omega \frac{(2v-2k-1)!!(2v+2k+1)!!}{(2v-2k-2)!!(2v+2k)!!} \times \right. \\ &\times \left. \sum_{k=0}^{v-1} \frac{(2v-2k-1)!}{(2v+2k+1)!} [P_{2v}^{2k+1}(\mu)]^2 \right\}^{1/2} \end{aligned}$$

Для оценки второй суммы воспользуемся равенством

$$1 = [P_n(\mu)]^2 + 2 \sum_{m=1}^n \frac{(n-m)!}{(n+m)!} [P_n^m(\mu)]^2$$

являющимся следствием теоремы сложения [4] функций Лежандра первого рода в интервале $-1 \leq \mu \leq 1$. Из этого равенства получаем

$$1 = [P_n(\mu)]^2 + 2 \sum_{k=0}^{v-1} \frac{(2v-2k-1)!}{(2v+2k+1)!} [P_{2v}^{2k+1}(\mu)]^2 + 2 \sum_{k=1}^v \frac{(2v-2k)!}{(2v+2k)!} [P_{2v}^{2k}(\mu)]^2$$

Так как все члены правой части существенно положительны, то

$$\sum_{k=0}^{v-1} \frac{(2v-2k-1)!}{(2v+2k+1)!} [P_{2v}^{2k+1}(\mu)]^2 \leq \frac{1}{2}$$

Учитывая, кроме того, что $\sin^2(2k+1) \leq 1$ и

$$\frac{(2v-2k-1)!!}{(2v-2k-2)!!} \frac{(2v+2k+1)!!}{(2v+2k)!!} < \frac{(2v-2k)(2v+2k+1)}{\pi \sqrt{v^2 - k^2}} \quad \text{при } k \leq v-1$$

что вытекает из формулы Стирлинга для $n!$, получаем

$$|S_v| \leq \frac{1}{V2\pi} \left[\sum_{k=0}^{v-1} \frac{(2v-2k)(2v+2k+1)}{Vv^2 - k^2} [F_v^{2k+1}(\zeta_0)]^2 \right]^{1/2}$$

Воспользовавшись рекуррентными соотношениями [5] для присоединенных функций Лежандра второго рода, можно показать, что

$$F_v^{2k+1} \leq \frac{\zeta_0^2}{(2k+1)+(2v+1)(\zeta_0^2-1)} < \frac{\zeta_0^2}{\zeta_0^2-1} \frac{1}{2v+1} = \frac{a^2}{b^2} \frac{1}{2v+1}$$

и, значит,

$$\begin{aligned} |S_v| &\leq \frac{1}{V\pi} \frac{a^2}{b^2} \frac{1}{2v+1} \left[\sum_{k=0}^{v-1} \sqrt{\frac{v-k}{v+k}} (2v+2k+1) \right]^{1/2} \leq \\ &\leq \frac{1}{V\pi} \frac{a^2}{b^2} \frac{1}{2v+1} \left[\sum_{k=0}^{v-1} (2v+2k+1) \right]^{1/2} \leq \frac{1}{V\pi} \frac{a^2}{b^2} \frac{(3v^2)^{1/2}}{2v+1} \leq \frac{a^2}{2b^2} \end{aligned}$$

Получив оценку для S_v , видим, что согласно (2.7)

$$|\varphi(\zeta_0, \mu, \omega)| \leq \frac{U_x a}{2} \sum_{v=1}^{\infty} \alpha_v$$

Но α_v при больших v уменьшается как $v^{-3/2}$, что и доказывает абсолютную и равномерную сходимость ряда (2.6) в интервале $-1 \leq \mu \leq 1$ для всех значений ζ_0 , а значит, и абсолютную и равномерную сходимость решения (2.4) во всей области D для всех значений $b \leq a$.

Определив потенциал φ , легко подсчитать главный вектор и главный момент импульсивных сил, действующих на смоченную часть эллипсоида.

Так как в силу симметрии главный вектор импульсивных сил \mathbf{P}_t направлен по оси x в сторону, обратную движению эллипсоида, а единственной отличной от нуля проекцией на оси координат главного момента M_t является его проекция на ось y , то для полного определения главного вектора и главного момента достаточно вычислить

$$(P_t)_x = P_t = - \iint_{\sigma} p_t \cos \alpha d\sigma$$

$$(M_t)_y = M_t = - \iint_{\sigma} p_t (z \cos \alpha - x \cos \gamma) d\sigma$$

где σ — смоченная поверхность эллипсоида, α и γ — углы между нормалью n и осями x и z .

Для эллипсоида вращения

$$d\sigma = \kappa^2 \sqrt{\zeta_0^2 - 1} \sqrt{\zeta_0^2 - \mu^2} d\mu d\omega$$

и в рассматриваемом случае

$$\cos \alpha = \sqrt{\frac{\zeta_0^2 - 1}{\zeta_0^2 - \mu^2}} \mu, \quad \cos \gamma = \sqrt{\frac{1 - \mu^2}{\zeta_0^2 - \mu^2}} \zeta_0 \sin \omega$$

Следовательно, подставляя вместо p_t его выражение через $\varphi(\zeta_0, \mu_0, \omega)$ и интегрируя почленно получающийся ряд, что возможно в силу равномерной сходимости ряда (2.6), имеем

$$\begin{aligned} P_t &= - \frac{4U_x}{\pi} \rho \frac{b^4}{a} \sum_{v=1}^{\infty} \sum_{k=0}^{v-1} \frac{4v+1}{2k+1} \frac{(2v-2k-1)!}{(2v+2k+1)!} \times \\ &\quad \times J_{2v}^{2k+1} F_{2v}^{2k+1}(\zeta_0) \int_{-1}^{+1} \int_0^{\pi} \mu P_{2v}^{2k+1}(\mu) \sin(2k+1)\omega d\mu d\omega \\ M_t &= \frac{4U_x}{\pi} \rho (a^2 - b^2) \frac{b^2}{a} \sum_{v=1}^{\infty} \sum_{k=0}^{v-1} \frac{4v+1}{2k+1} \frac{(2v-2k-1)!}{(2v+2k+1)!} \times \\ &\quad \times J_{2v}^{2k+1} F_{2v}^{2k+1} \int_{-1}^{+1} \int_0^{\pi} \mu \sqrt{1-\mu^2} P_{2v}^{2k+1}(\mu) \sin(2k+1)\omega \sin \omega d\mu d\omega \end{aligned}$$

где κ и ζ_0 заменены их выражениями через a и b . Учитывая, что

$$\begin{aligned} \int_{-1}^{+1} \mu P_{2v}^{2k+1}(\mu) d\mu &= 2 J_{2v}^{2k+1}, & \int_0^{\pi} \sin(2k+1)\omega \sin \omega d\omega &= \begin{cases} 0 & \text{при } k \neq 0 \\ \frac{1}{2}\pi & \text{при } k = 0 \end{cases} \\ \mu(1-\mu^2)^{1/2} &= \frac{1}{3} P_2^{-1}(\mu), & \int_{-1}^{+1} P_2^{-1}(\mu) P_{2v}^{2k+1}(\mu) d\mu &= \begin{cases} 0 & \text{при } v \neq 1 \\ \frac{12}{15} & \text{при } v = 1 \end{cases} \end{aligned}$$

окончательно получаем

$$\begin{aligned} P_t &= - \frac{16}{\pi} \rho U \frac{b^4}{a} \sum_{v=1}^{\infty} \sum_{k=0}^{v-1} \frac{4v+1}{(2k+1)^2} \frac{(2v-2k-1)!}{(2v+2k+1)!} (J_{2v}^{2k+1})^2 F_{2v}^{2k+1}(\zeta_0) \\ M_t &= \frac{\pi}{2} \rho U_x (a^2 - b^2) \frac{b^3}{a} F_2^{-1}(\zeta_0) \end{aligned} \tag{2.7}$$

где в выражении для M_t коэффициент J_2^1 заменен его численным значением, равным $\frac{3}{16}\pi$.

Для определения коэффициента присоединенной массы λ_x разделим P_t на величину $-\rho U_x \frac{2}{3} \pi ab^2$, тогда, заменив коэффициент J_{2v}^{2k+1} его значением, после элементарных преобразований находим

$$\lambda_x = 3 \frac{b^2}{a^2} \sum_{v=1}^{\infty} \frac{v(v+1)}{(4v^2-1)^2} \left[\frac{(2v+1)!!}{(2v+2)!!} \right]^2 \alpha_v(\zeta_0) \quad (2.8)$$

где

$$\alpha_v(\zeta_0) = \frac{4}{v} \sum_{k=0}^{v-1} (v-k) \frac{(2v+2k+1)!!}{(2v+2k)!!} \frac{(2v-2k-1)!!}{(2v-2k)!!} F_{2v}^{2k+1}(\zeta_0)$$

Центр давления z_0 получим, поделив величину M_t на P_t , тогда

$$z_0 = -\frac{3b}{4\lambda_x} \left(1 - \frac{b^2}{a^2}\right) F_2^1(\zeta_0) \quad (2.9)$$

Рассмотрим два предельных случая, когда эллипсоид вырождается в сферу ($\zeta_0 \rightarrow \infty$) и когда он имеет весьма большое удлинение ($\zeta_0 \rightarrow 1$).

При $\zeta \rightarrow \infty$

$$Q_n(z) \rightarrow \frac{n!}{(2n+1)!!} \frac{1}{\zeta^{n+1}}, \quad Q_n^m(\zeta) \rightarrow (-1)^m \frac{(n+m)!}{(2n+1)!!} \frac{1}{\zeta^{n+1}}$$

и, следовательно,

$$F_{2v}^{2k+1}(\infty) = \frac{1}{2v+1} \quad \text{при } \zeta_0 \rightarrow \infty$$

Подставляя найденное значение $F_{2v}^{2k+1}(\infty)$ в выражение для $\alpha_v(\zeta_0)$, получаем

$$\alpha_v(\infty) = \frac{4}{v(2v+1)} \sum_{k=0}^{v-1} (v-k) \frac{(2v+2k+1)!!}{(2v+2k)!!} \frac{(2v-2k-1)!!}{(2v-2k)!!}$$

Непосредственно вычисляя сумму, стоящую в правой части для $v \leq 5$, получаем, что $\alpha_v(\infty) = 1$ при $v \leq 5$. Приближенное вычисление этой суммы показывает, что $\alpha_v(\infty) \rightarrow 1$ при больших значениях v .

Таким образом, можно ожидать, что $\alpha_v(\infty)$ точно равно единице¹ при всех значениях v .

Учитывая, что при $\zeta_0 = \infty$ $a = b$, и принимая $\alpha_v(\infty) = 1$, получаем из равенства (2.8) найденное в работе [1] выражение для коэффициента присоединенной массы сферы. При $\zeta \rightarrow 1$

$$Q_n \rightarrow \frac{1}{2} \ln \frac{2}{\zeta-1}, \quad Q_n^m \rightarrow 2^{1/2m-1} (-1)^m \frac{(m-1)!}{(\zeta-1)^{1/2m}}$$

и, следовательно,

$$F_{2v}^{2k+1}(1) = \frac{1}{2k+1}$$

¹ Стогое доказательства этого утверждения получить не удалось.

Тогда при $\zeta_0 = 1$

$$\alpha_v(1) = \frac{4}{v} \sum_{k=0}^{v-1} \frac{v-k}{2k+1} \frac{(2v+2k+1)!!}{(2v+2k)!!} \frac{(2v-2k-1)!!}{(2v-2k)!!}$$

Полагая при весьма больших удлинениях эллипсоида ($b/a \ll 1$) $\alpha_v(\zeta_0) = \alpha_v(1)$, после приближенного суммирования ряда (2.8) получаем

$$\lambda_x = 0.854 \frac{b^2}{a^2}$$

2. При поступательном движении эллипсоида вдоль оси y со скоростью U_y

$$V_n(M) = U_y \cos \beta$$

где β — угол между нормалью n и осью y .

Так как в рассматриваемом случае

$$\cos \beta = \sqrt{\frac{1-\mu^2}{\zeta_0^2 - \mu^2}} \zeta_0 \cos \omega$$

то условие (2.2) принимает вид:

$$\begin{aligned} \sum_{n=0}^{\infty} \sum_{m=0}^n [A_n{}^m \cos n\omega + B_n{}^m \sin m\omega] \dot{Q}_n{}^m(\zeta_0) P_n{}^m(\mu) &= \\ = \frac{4\pi}{\pi} U_y \sqrt{1-\mu^2} \frac{\zeta_0}{\zeta_0^2 - 1} \cos \omega \sum_{k=0}^{\infty} \frac{\sin(2k+1)\omega}{2k+1} &= \\ = \frac{4\pi}{\pi} U_y \frac{\zeta_0}{\zeta_0^2 - 1} \sqrt{1-\mu^2} \sum_{k=1}^{\infty} \frac{2k}{4k^2-1} \sin 2k\omega & \end{aligned} \quad (2.40)$$

Этому условию можно удовлетворить, полагая

$$A_n{}^m = 0 \quad \text{при всех } n, \quad B_n{}^m = 0 \quad \text{при } m = 2k-1$$

Тогда для определения коэффициентов $B_n{}^{2k}$ получим соотношение

$$\sum_{n=2k}^{\infty} B_n{}^{2k} \dot{Q}_n{}^{2k}(\zeta_0) P_n{}^{2k}(\mu) = \frac{4\pi}{\pi} U_y \frac{2k}{4k^2-1} \frac{\zeta_0}{\zeta_0^2 - 1} \sqrt{1-\mu^2}$$

Отсюда

$$B_n{}^{2k} = \frac{4\pi}{\pi} U_y \frac{k(2n+1)(n-2k)!}{4k^2-1} \frac{\zeta_0}{(n+2k)!} \frac{1}{\dot{Q}_n{}^{2k}(\zeta_0)} \int_{-1}^{+1} \sqrt{1-\mu^2} P_n{}^{2k}(\mu) d\mu$$

Обозначая

$$\frac{1}{2} \int_{-1}^{+1} \sqrt{1-\mu^2} P_n{}^{2k}(\mu) d\mu = J_n{}^{2k}$$

видим, что так как $P_{2v+1}^{2k}(\mu)$ нечетная, а P_{2v}^{2k} четная функция μ , то

$$J_{2v+1}^{2k} = 0, \quad J_{2v}^{2k} = \int_0^1 \sqrt{1-\mu^2} P_{2v}^{2k}(\mu) d\mu$$

и, следовательно,

$$B_{2v+1}^{2k} = 0, \quad B_{2v}^{2k} = \frac{8\pi}{\pi} U_y \frac{k(4v+1)(2v-2k)!}{4k^2-1} \frac{\zeta_0}{(2v+2k)!} \frac{1}{\dot{Q}_{2v}{}^{2k}(\zeta_0)} J_{2v}^{2k}$$

Подставляя найденные значения A_n^m и B_n^m в уравнение (1.3), получаем для потенциала скоростей φ выражение

$$\begin{aligned} \varphi(\zeta, \mu, \omega) = & \frac{8U_y}{\pi} \frac{a}{b} \sqrt{a^2 - b^2} \sum_{v=1}^{\infty} \sum_{k=1}^v \frac{k(4v+1)(2v-2k)!}{4k^2-1} \frac{(2v+2k)!}{(2v+2k)!} \times \\ & \times J_{2v}^{2k} \frac{Q_{2v}^{2k}(\zeta)}{Q_{2v}^{2k}(\zeta_0)} P_{2v}^{2k}(\mu) \sin 2k\omega \end{aligned} \quad (2.41)$$

которое на поверхности эллипсоида $\zeta = \zeta_0$ принимает вид:

$$\varphi(\zeta_0, \mu, \omega) = -\frac{8U_y}{\pi} b \sum_{v=1}^{\infty} \sum_{k=1}^v \frac{k(4v+1)(2v-2k)!}{4k^2-1} J_{2v}^{2k} F_{2v}^{2k}(\zeta_0) P_{2v}^{2k}(\mu) \sin 2k\omega \quad (2.42)$$

где

$$F_{2v}^{2k}(\zeta_0) = -\frac{\zeta_0}{\zeta_0^2 - 1} \frac{Q_{2v}^{2k}(\zeta_0)}{Q_{2v}^{2k}(\zeta_0)}$$

Интеграл J_{2v}^{2k} вычисляется точно так же, как и интеграл J_{2v}^{2k+1} , и оказывается равным

$$J_{2v}^{2k} = \frac{\pi}{2} \frac{4k^2-1}{2v-1} \frac{(2v-1)!!}{(2v+2)!!} \frac{(2v+2k-1)!!}{(2v-2k)!!}$$

после чего $\varphi(\zeta_0, \mu, \omega)$ окончательно записывается в виде

$$\begin{aligned} \varphi(\zeta_0, \mu, \omega) = & -4U_y b \sum_{v=1}^{\infty} \frac{4v+1}{2v-1} \frac{(2v-1)!!}{(2v+2)!!} \sum_{k=1}^v k \frac{(2v-2k-1)!!}{(2v+2k)!!} \times \\ & \times F_{2v}^{2k}(\zeta_0) P_{2v}^{2k}(\mu) \sin 2k\omega \end{aligned}$$

Абсолютная и равномерная сходимость найденного решения в интервале $-1 \leq \mu \leq 1$ для всех значений $\zeta_0 \geq 1$ доказывается точно так же, как и при поступательном движении эллипсоида вдоль оси x .

Переходя к вычислению импульсивных сил, действующих на смоченную часть эллипсоида, заметим, что в данном случае главный момент относительно начала координат равен нулю и равнодействующая импульсивных сил P_t проходит через центр эллипсоида параллельно оси y и направлена в сторону, обратную его движению. Таким образом,

$$P_t = - \iint_{\sigma} p_t \cos \beta d\sigma = \rho \iint_{\sigma} \varphi(\zeta_0, \mu, \omega) \cos \beta d\sigma$$

или, подставляя вместо φ , $\cos \beta$ и $d\sigma$ их значения, имеем

$$\begin{aligned} P_t = & -\frac{8}{\pi} U_y a b^2 \sum_{v=1}^{\infty} \sum_{k=1}^v \frac{k(4v+1)}{4k^2-1} \frac{(2v+2k)!}{(2v+2k)!} J_{2v}^{2k} F_{2v}^{2k} \times \\ & \times \int_{-1}^{+1} \int_0^{\pi} \sqrt{1-\mu^2} P_{2v}^{2k}(\mu) \sin 2k\omega \cos \omega d\mu d\omega \end{aligned}$$

Учитывая, что

$$\int_{-1}^{+1} \sqrt{1-\mu^2} P_{2v}^{2k}(\mu) d\mu = 2J_{2v}^{2k}, \quad \int_0^{\pi} \sin 2k\omega \cos \omega d\omega = \frac{4k}{4k^2-1}$$

получаем

$$P_t = -\frac{16}{\pi} \rho U_y ab^2 \sum_{v=1}^{\infty} \sum_{k=1}^v \frac{(2k)^2 (4v+1)}{(4k^2-1)^2} \frac{(2v-2k)!}{(2v+2k)!} (J_{2v}^{2k})^2 F_{2v}^{2k} (\zeta_0)$$

Заменяя в этом выражении J_{2v}^{2k} его значением и поделив P_t на $-\rho U_y \frac{2}{3} \pi ab^2$, находим выражение для коэффициента присоединенной массы:

$$\lambda_y = 3 \sum_{v=1}^{\infty} \frac{v(4v+1)}{(4v^2-1)^2} \left[\frac{(2v+1)!!}{(2v+2)!!} \right]^2 \beta_v (\zeta_0) \quad (2.13)$$

где

$$\beta_v (\zeta_0) = \frac{8}{v} \sum_{k=1}^v k^2 \frac{(2v-2k-1)!!}{(2v-2k)!!} \frac{(2v+2k-1)!!}{(2v+2k)!!} F_{2v}^{2k} (\zeta_0)$$

В предельном случае $\zeta_0 \rightarrow \infty$, когда эллипсоид вырождается в сферу, величина $F_{2v}^{2k} (\zeta_0) = (2v+1)^{-1}$ и

$$\beta_v (\infty) = \frac{8}{v(2v+1)} \sum_{k=1}^v k^2 \frac{(2v-2k-1)!!}{(2v-2k)!!} \frac{(2v+2k-1)!!}{(2v+2k)!!}$$

Непосредственное вычисление $\beta_v (\infty)$ для $v \leq 5$ показывает, что $\beta_v (\infty) = 1$ при этих значениях v . Приближенное вычисление $\beta_v (\infty)$ для весьма больших значений v также показывает, что $\beta_v (\infty) \rightarrow 1$ при $v \rightarrow \infty$. Таким образом, можно предполагать, что $\beta_v (\infty)$, так же как и $\alpha_v (\infty)$, равно единице при всех значениях v ; в этом случае равенство (2.13) совпадает с выражением для коэффициента присоединенных масс сферы.

Во втором предельном случае $\zeta_0 \rightarrow 1$, когда эллипсоид вырождается в бесконечно длинный круглый цилиндр, величина $F_{2v}^{2k} = 1/2k$ и

$$\beta_v = \frac{4}{v} \sum_{k=1}^v k \frac{(2v-2k-1)!!}{(2v-2k)!!} \frac{(2v+2k-1)!!}{(2v+2k)!!}$$

Приближенно суммируя ряд (2.13), получаем для λ_y при $\zeta_0 = 1$ значение

$$\lambda_y = 0.404$$

что практически совпадает, как это и должно быть, с величиной коэффициента присоединенной массы круглого цилиндра, равного на основании решения плоской задачи [6] величине

$$\frac{4}{\pi^2} = 0.40528$$

3. При вращении эллипсоида вокруг оси z с угловой скоростью Ω_0

$$V_n (M) = \Omega_0 (x \cos \beta - y \cos \alpha).$$

Заменяя $x, y, \cos \alpha, \cos \beta$ их значениями через эллиптические координаты ζ, μ, ω , приводим условия (2.2) к виду

$$\begin{aligned} \sum_{m=0}^{\infty} \sum_{n=0}^m [A_n m \cos m\omega + B_n m \sin m\omega] Q_n^m (\zeta_0) P_n^m (\mu) = \\ = \frac{8\mu^2}{\pi} \Omega_0 \frac{\mu \sqrt{1-\mu^2}}{\sqrt{\Phi_0^2 - 1}} \sum_{k=1}^{\infty} \frac{k}{4k^2 - 1} \sin 2k\omega \end{aligned} \quad (2.14)$$

Отсюда заключаем, что $A_n^m = 0$ при всех n , $B_n^m = 0$ при $m = 2k - 1$ и, следовательно,

$$\sum_{n=2k}^{\infty} B_n^{2k} Q_n^{2k}(\zeta_0) P_n^{2k}(\mu) = \frac{8\omega^2}{\pi} \Omega_0 \frac{k}{4k^2-1} \frac{\mu \sqrt{1-\mu^2}}{\sqrt{\zeta_0^2-1}}$$

а значит,

$$B_n^{2k} = \frac{4\omega^2}{\pi} \Omega_0 \frac{k}{4k^2-1} (2n+1) \frac{(n-2k)!}{(n+2k)!} \frac{1}{\sqrt{\zeta_0^2-1}} \frac{1}{Q_n^{2k}(\zeta_0)} \int_{-1}^{+1} \mu \sqrt{1-\mu^2} P_n^{2k}(\mu) d\mu$$

Обозначая

$$\frac{1}{2} \int_{-1}^{+1} \mu \sqrt{1-\mu^2} P_n^{2k}(\mu) d\mu = J_n^{2k}$$

видим, что

$$J_{2v}^{2k} = 0, \quad J_{2v+1}^{2k} = \int_0^1 \mu \sqrt{1-\mu^2} P_{2v+1}^{2k}(\mu) d\mu$$

Подставляя найденные значения A_n^m и B_n^m в уравнение (1.3), получаем для потенциала скоростей выражение

$$\varphi(\zeta, \mu, \omega) = \frac{8}{\pi} \Omega_0 \frac{(a^2-b^2)^{1/2}}{b} \sum_{v=1}^{\infty} \sum_{k=1}^v \frac{k(4v+3)}{4k^2-1} \frac{(2v-2k+1)!}{(2v+2k+1)!} \times \\ \times J_{2v+1}^{2k} \frac{Q_{2v+1}^{2k}(\zeta)}{Q_{2v+1}^{2k}(\zeta_0)} P_{2v+1}^{2k}(\mu) \sin 2k\omega \quad (2.15)$$

которое на поверхности эллипсоида $\zeta = \zeta_0$ принимает вид:

$$\varphi(\zeta_0, \mu, \omega) = -\frac{8}{\pi} \Omega_0 (a^2-b^2) \frac{b}{a} \sum_{v=1}^{\infty} \sum_{k=1}^v \frac{k(4v+3)}{4k^2-1} \frac{(2v-2k+1)!}{(2v+2k+1)!} \times \\ \times J_{2v+1}^{2k} F_{2v+1}^{2k}(\zeta_0) P_{2v+1}^{2k}(\mu) \sin 2k\omega \quad (2.16)$$

где

$$F_{2v+1}^{2k}(\zeta_0) = -\frac{\zeta_0}{\zeta_0^2-1} \frac{Q_{2v+1}^{2k}(\zeta_0)}{Q_{2v+1}^{2k}(\zeta_0)}$$

Интеграл J_{2v+1}^{2k} легко выражается через вычисленные ранее интегралы J_{2v}^{2k} и J_{2v+2}^{2k} и оказывается равным

$$J_{2v+1}^{2k} = \frac{\pi}{2} \frac{4k^2-1}{2v-1} \frac{(2v-1)!!}{(2v+4)!!} \frac{(2v+2k+1)!!}{(2v-2k)!!}$$

после чего выражение (2.16) окончательно можно представить в виде

$$\varphi(\zeta_0, \mu, \omega) = -4\Omega_0 (a^2-b^2) \frac{b}{a} \times \\ \times \sum_{v=1}^{\infty} \frac{4v+3}{2v-1} \frac{(2v-1)!!}{(2v+4)!!} \sum_{k=1}^v k \frac{(2v-2k+1)!!}{(2v+2k)!!} F_{2v+1}^{2k}(\zeta_0) P_{2v+1}^{2k}(\mu) \sin 2k\omega \quad (2.17)$$

Доказательство абсолютной и равномерной сходимости найденного решения для $\varphi(\zeta, \mu, \omega)$ в интервале $-1 \leq \mu \leq 1$ для всех значений $\zeta_0 \geq 1$ ведется точно так же, как и в п. 1 настоящего параграфа.

Очевидно, что в данном случае в силу симметрии системы импульсивных сил давлений, приложенных к эллипсоиду, приводится к одному главному моменту, направленному параллельно оси z в сторону, обратную вектору угловой скорости Ω_0 .

Алгебраическая величина главного момента M_t определяется равенством:

$$M_t = - \int \int_{\sigma} p_t (x \cos \beta - y \cos \alpha) d\sigma = \rho \int \int_{\sigma} \varphi (\zeta_0, \mu, \omega) (x \cos \beta - y \cos \alpha) d\sigma$$

или

$$M_t = - \rho \Omega_0 \frac{8}{\pi} \frac{b^2}{a} (a^2 - b^2)^2 \sum_{v=1}^{\infty} \sum_{k=1}^v \frac{k(4v+3)}{4k^2-1} \frac{(2v-2k+1)!}{(2v+2k+1)!} J_{2v+1}^{2k} \times \\ \times F_{2v+1}^{2k} (\zeta_0) \int_{-1}^{+1} \int_0^{\pi} \mu \sqrt{1-\mu^2} P_{2v+1}^{2k} (\mu) \sin 2k\omega \cos \omega d\mu d\omega$$

Выполнив интегрирования, окончательно, находим

$$M_t = - \rho \Omega_0 \frac{16}{\pi} \frac{b^2}{a} (a^2 - b^2)^2 \sum_{v=1}^{\infty} \sum_{k=1}^v \frac{4k^2(4v+3)}{(4k^2-1)^2} \frac{(2v-2k+1)!}{(2v+2k+1)!} (J_{2v+1}^{2k})^2 F_{2v+1}^{2k} (\zeta_0)$$

Заменив J_{2v+1}^{2k} его значением и поделив M_t на $-\Omega_0 I_z$, где I_z — момент инерции относительно оси z жидкости, объем и форма которой равны объему и форме смоченной части эллипсоида:

$$I_z = \rho \frac{2}{15} \pi ab^2 (a^2 + b^2)$$

получим коэффициент присоединенной массы λ_{zz} , который представим в виде

$$\lambda_{zz} = 120 \frac{(a^2 - b^2)^2}{a^2 (a^2 + b^2)} \sum_{v=1}^{\infty} \frac{4v+3}{(2v-1)^2} \left[\frac{(2v-1)!!}{(2v+4)!!} \right]^2 \gamma_v (\zeta_0) \quad (2.18)$$

где

$$\gamma_v (\zeta_0) = \sum_{k=1}^v k^2 \frac{(2v+2k+1)!!}{(2v+2k)!!} \frac{(2v-2k+1)!!}{(2v-2k)!!} F_{2v+1}^{2k} (\zeta_0)$$

Для сферы $a_0 = b$, естественно, получаем, что

$$\lambda_{zz} = 0$$

Для эллипса весьма большого удлинения, когда $\zeta_0 \rightarrow 1$ и $a \gg b$:

$$F_{2v+1}^{2k} = \frac{1}{2k}$$

В этом случае

$$\gamma_v (1) = \frac{1}{2} \sum_{k=1}^v k \frac{(2v+2k+1)!!}{(2v+2k)!!} \frac{(2v-2k+1)!!}{(2v-2k)!!}$$

Приближенно суммируя ряд (2.17), находим, что при $a \gg b$

$$\lambda_{zz} = 0.404$$

§ 3. Внутренняя задача. Рассматривая внутреннюю задачу о горизонтальном ударе эллипсоида вращения, заполненного до половины идеальной жидкостью, надо воспользоваться решением уравнения Лапласа для потенциала скоростей φ , конечным в начале координат.

Для удлиненного эллипса ($a > b$) таким решением будет [2] выражение

$$\varphi = \sum_{n=0}^{\infty} \sum_{m=0}^n [A_n m \cos m\omega + B_n m \sin m\omega] P_n^m(\zeta) P_n^m(\mu) \quad (3.1)$$

В случае внутренней задачи производная $\partial\varphi/\partial n$ и направляющие косинусы нормали n , направленной внутрь жидкости (т. е. внутрь эллипса), определяются такими же выражениями, но с обратным знаком, что и для внешней задачи.

Следовательно, граничные условия из которых определяются коэффициенты $A_n m$ и $B_n m$, будут совпадать с условиями (1.4), (2.3), (2.10), (2.14) с той разницей, что в них вместо $\dot{Q}_n^m(\zeta_0)$ будут стоять $\dot{P}_n^m(\zeta_0)$.

Точно так же выражения для потенциала скоростей φ в случае внутренней задачи будут совпадать с выражениями, полученными из соотношений (1.6), (2.4), (2.11), (2.15), заменой в них $Q_n^m(\zeta)$ на $P_n^m(\zeta)$ и $\dot{Q}_n^m(\zeta_0)$ на $\dot{P}_n^m(\zeta_0)$.

Доказательство абсолютной и равномерной сходимости найденных таким образом решений в интервале $-1 \leq \mu \leq 1$ для всех $\zeta_0 \geq 1$ проводится повторением соответствующих доказательств для внешней задачи и не встречает каких-либо новых принципиальных затруднений.

Определив потенциал скоростей φ после соответствующих вычислений, находим коэффициенты присоединенной массы и центры давления для внутренней задачи, которые имеют следующий вид.

1. Для эллипса, экваториальная плоскость которого совпадает со свободной поверхностью жидкости:

$$\lambda^* = \lambda_x^* = \lambda_y^* = 3 \sum_{v=1}^{\infty} \frac{v(4v+1)(2v+1)}{(4v^2-1)^2} \left[\frac{(2v+1)!!}{(2v+2)!!} \right]^2 F_{2v}^{*1}(\zeta_0) \quad (3.2)$$

$$z_0^* = \frac{3a}{8\lambda^*} \left(1 - \frac{b^2}{a^2} \right) F_2^{*1}(\zeta_0) \quad (3.3)$$

2. Для эллипса, экваториальная плоскость которого нормальна свободной поверхности жидкости:

$$\lambda_x^* = \frac{3}{2} \frac{b^2}{a^2} \sum_{v=1}^{\infty} \frac{(4v+1)(2v+1)}{(4v^2-1)^2} \left[\frac{(2v+1)!!}{(2v+2)!!} \right]^2 \sigma_v^*(\zeta_0) \quad (3.4)$$

$$z_0^* = -\frac{3b}{4\lambda_x^*} \left(1 - \frac{b^2}{a^2} \right) F_2^{*1}(\zeta_0) \quad (3.5)$$

$$\lambda_y^* = \frac{3}{2} \sum_{v=1}^{\infty} \frac{(4v+1)(2v+1)}{(4v^2-1)^2} \left[\frac{(2v+1)!!}{(2v+2)!!} \right]^2 \beta_v^*(\zeta_0) \quad (3.6)$$

$$\lambda_{zz}^* = 120 \frac{(a^2-b^2)}{a^2(a^2+b^2)} \sum_{v=1}^{\infty} \frac{4v+3}{(2v-1)^2} \left[\frac{(2v-1)!!}{(2v+4)!!} \right]^2 \gamma_v(\zeta_0) \quad (3.7)$$

где

$$\alpha_v^*(\zeta_0) = \frac{8}{2v+1} \sum_{k=0}^{v-1} (v-k) \frac{(2v+2k+1)!!}{(2v+2k)!!} \frac{(2v-2k-1)!!}{(2v-2k)!!} F_{2v}^{*2k+1}(\zeta_0)$$

$$\beta_v^*(\zeta_0) = \frac{16}{2v+1} \sum_{k=1}^v k^2 \frac{(2v-2k-1)!!}{(2v-2k)!!} \frac{(2v+2k-1)!!}{(2v+2k)!!} F_{2v}^{*2k}(\zeta_0)$$

$$\gamma_v(\zeta_0) = \sum_{k=1}^v k^2 \frac{(2v+2k+1)!!}{(2v+2k)!!} \frac{(2v-2k+1)!!}{(2v-2k)!!} F_{2v+1}^{*2k}$$

$$F_n^{*m} = \frac{\zeta_0}{\zeta_0^2 - 1} \frac{P_n^m(\zeta_0)}{\tilde{P}_n^m(\zeta_0)}$$

В предельном случае $\zeta_0 \rightarrow \infty$, когда эллипсоид вырождается в сферу;

$$F_n^m = \frac{1}{n}$$

При этом

$$\alpha_v^* = \alpha_v(\infty) = 1, \quad \beta_v^*(\infty) = \beta_v(\infty) = 1$$

и формулы (3.2), (3.4) и (3.6) переходят в полученное в работе^[1] выражение для коэффициента присоединенной массы сферы, заполненной до половины идеальной жидкостью, равного 0.398224.

Во втором предельном случае $\zeta_0 \rightarrow 1$, когда $a \gg b$:

$$F_n^{*m} = \frac{1}{m}$$

Тогда для эллипсоида весьма большого удлинения, экваториальная плоскость которого совпадает со свободной поверхностью жидкости, из формулы (3.2), которая в этом случае совпадает с выражением (1.8), получаем

$$\lambda^* = \lambda = 1$$

Для эллипса, экваториальная плоскость которого нормальна свободной поверхности жидкости, выражения (3.4), (3.6) и (3.7) при $\zeta \rightarrow 1$ совпадают соответственно с равенствами (2.8), (2.13), (2.18) и, значит, при $a \gg b$

$$\lambda_x^* = \lambda_x, \quad \lambda_y^* = \lambda_y, \quad \lambda_{zz}^* = \lambda_{zz}$$

§ 4. Сплюснутый эллипсоид вращения (сферионд). Для сплюснутого эллипса вращения $a < b$ эллиптические координаты ζ, μ, ω вводим соотношениями

$$x = \kappa \sqrt{\zeta^2 + 1} \sqrt{1 - \mu^2} \cos \omega$$

$$y = \kappa \sqrt{\zeta^2 + 1} \sqrt{1 - \mu^2} \sin \omega$$

$$z = \kappa \mu$$

если экваториальная плоскость совпадает со свободной поверхностью жидкости, и соотношениями

$$x = \kappa \zeta, \quad y = \kappa \sqrt{\zeta^2 + 1} \sqrt{1 - \mu^2} \cos \omega, \quad z = \kappa \sqrt{\zeta^2 + 1} \sqrt{1 - \mu^2} \sin \omega$$

если экваториальная плоскость нормальна свободной поверхности.

В приведенных равенствах

$$-1 \leq \mu \leq 1, \quad 0 < \zeta < \infty, \quad 0 \leq \omega \leq 2\pi, \quad z = \sqrt{b^2 - a^2}$$

уравнение эллипсоида, как и прежде, будет

$$\zeta = \zeta_0 \quad \left(\zeta_0 = \frac{a}{\sqrt{b^2 - a^2}} \right)$$

В координатах ζ , μ , ω уравнение Лапласа для потенциала скоростей φ имеет вид:

$$\frac{\partial}{\partial \mu} \left[(1 - \mu^2) \frac{\partial \varphi}{\partial \mu} \right] + \frac{1}{1 - \mu^2} \frac{\partial^2 \varphi}{\partial \omega^2} = - \frac{\partial}{\partial \zeta} \left[(\zeta^2 + 1) \frac{\partial \varphi}{\partial \zeta} \right] + \frac{1}{\zeta^2 + 1} \frac{\partial^2 \varphi}{\partial \omega^2}$$

Решение этого уравнения, конечное в бесконечно удаленных точках, пригодное для внешней задачи, имеет [2] вид:

$$\varphi = \sum_{n=0}^{\infty} \sum_{m=0}^n [A_n{}^m \cos m\omega + B_n{}^m \sin m\omega] q_n{}^m(\zeta) P_n{}^m(\mu)$$

а решение, конечное в начале координат и пригодное для внутренней задачи [2], будет

$$\varphi = \sum_{n=0}^{\infty} \sum_{m=0}^n [A_n{}^m \cos m\omega + B_n{}^m \sin m\omega] p_n{}^m(\zeta) P_n{}^m(\mu)$$

где

$$p_n{}^m(\zeta) = (\zeta^2 + 1)^{1/2} {}^m \frac{d^m p_n}{d\zeta^m}, \quad q_n{}^m(\zeta) = (\zeta^2 + 1)^{1/2} {}^m \frac{d^m q_n}{d\zeta^m}$$

и $p_n{}^0(\zeta) = p_n(\zeta)$, $q_n{}^0(\zeta) = q_n(\zeta)$ соответственно функции Лежандра первого и второго рода от мнимого аргумента.

Функции $p_n(\zeta)$ и $q_n(\zeta)$ связаны с функциями $P_n(\zeta)$ и $Q_n(\zeta)$ соотношениями

$$p_n(\zeta) = (i)^{-n} P_n(i\zeta), \quad q_n(\zeta) = i^{n+1} Q_n(i\zeta)$$

Повторяя без всяких изменений все выводы, подробно приведенные в предыдущих параграфах, получаем для потенциалов скоростей, главного вектора и главного момента импульсивных сил давлений, действующих на смоченную поверхность сплюснутого эллипсоида, точно такие же выражения, как и для удлиненного эллипсоида, в которых функции $Q_n{}^m(\zeta)$ для внешней задачи и $P_n{}^m(\zeta)$ для внутренней задачи заменяются соответственно функциями $q_n{}^m(\zeta)$ и $p_n{}^m(\zeta)$.

Точно так же все формулы для присоединенных масс и координаты центра давления, полученные для удлиненного эллипсоида, сохраняют свой вид и для сплюснутого эллипсоида, если в них заменить при внешней задаче функции $F_n{}^m(\zeta_0)$ функциями $f_n{}^m(\zeta_0)$ и при внутренней задаче функции $F_n{}^{*m}(\zeta_0)$ функциями $f_n{}^{*m}(\zeta_0)$, где

$$f_n{}^m(\zeta_0) = - \frac{\zeta_0}{\zeta_0^2 + 1} \frac{q_n{}^m(\zeta_0)}{p_n{}^m(\zeta_0)}, \quad f_n{}^{*m}(\zeta_0) = \frac{\zeta_0}{\zeta_0^2 + 1} \frac{p_n{}^m(\zeta_0)}{q_n{}^m(\zeta_0)}$$

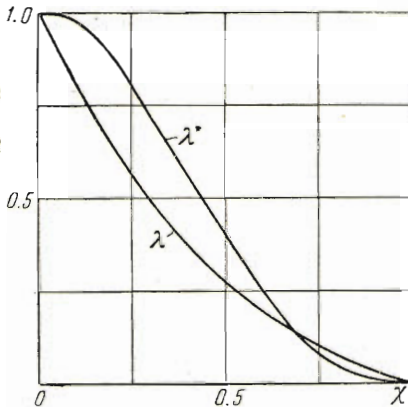
Причем в предельном случае $\zeta_0 \rightarrow \infty$, когда эллипсоид вырождается в сферу:

$$f_n^m(\infty) = F_n^m(\infty) = \frac{1}{n+1}, \quad f_n^{*m}(\infty) = F_n^{*m}(\infty) = \frac{1}{n}$$

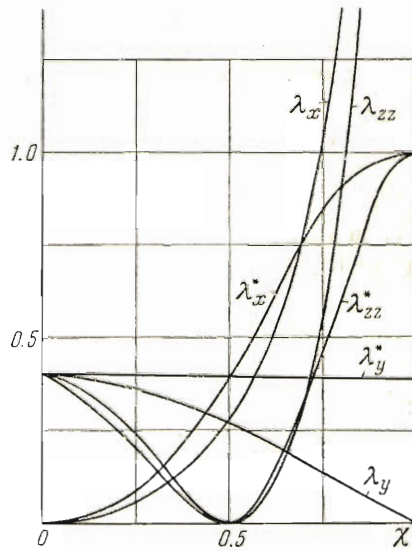
Значения коэффициентов присоединенной массы, найденные в результате приближенного расчета, по полученным в работе формулам, как для внешней, так и для внутренней задачи приведены на фиг. 4 в случае, когда экваториальная плоскость эллипса совпадает со свободной поверхностью, и на фиг. 5, когда экваториальная плоскость нормальна к свободной поверхности жидкости, где они даются в функции от величины

$$\chi = \frac{1}{a/b + 1}$$

характеризующей удлинение эллипса.



Фиг. 4



Фиг. 5

В заключение следует отметить, что, используя найденные решения для внешней и внутренней задач, легко получить решение для смешанной задачи, под которой понимается горизонтальный удар эллипса вращения, плавающего на поверхности идеальной жидкости, заключенной в сосуд, представляющей собой эллипс вращения, сфокусенный с плавающим эллипсом. Однако вследствие громоздкости получающихся выражений эти результаты не приводятся.

Поступила 27 VII 1953

ЛИТЕРАТУРА

- 1 Блох Э. Л. Горизонтальный гидродинамический удар сферы при наличии свободной поверхности жидкости, ПММ, т. XVII, вып. 5, 1953.
- 2 Ламб Г. Гидродинамика. ГИТТЛ, 1947.
- 3 Седов Л. И. Об ударе твердого тела, плавающего на поверхности несжимаемой жидкости. Труды ЦАГИ, № 178, 1934.
- 4 Гобсон Е. В. Теория сферических и эллипсоидальных функций. И. Л., 1952.
- 5 Рыжик И. М. и Градштейн. Таблицы интегралов сумм и произведений. ГИТТЛ, 1951.
- 6 Седов Л. И. Теория плоско-параллельных движений идеальной жидкости. ГИТТЛ, 1950.